

J 3 物理

この冊子は、物理の問題で1ページより25ページまであります。

〔注意〕

- (1) 試験開始の指示があるまで、この冊子を開いてはいけません。
- (2) 監督者から受験番号等記入の指示があったら、解答用マークシートに受験番号と氏名を記入し、さらに受験番号をマークしてください。
- (3) 解答は、所定の解答用マークシートにマークしたものだけが採点されます。
- (4) 解答用マークシートについて
 - ① 解答用マークシートは、絶対に折り曲げてはいけません。
 - ② マークには黒鉛筆(HBまたはB)を使用してください。
指定の黒鉛筆以外でマークした場合、採点できないことがあります。
 - ③ 誤ってマークした場合は、消しゴムで丁寧に消し、消しきずを完全に取り除いたうえ、新たにマークしてください。
 - ④ 解答欄のマークは、横1行について1箇所に限ります。
2箇所以上マークすると採点されません。
あいまいなマークは無効となるので、はっきりマークしてください。
 - ⑤ 解答用マークシートに記載されている解答上の注意事項を、必ず読んでから解答してください。
- (5) 試験開始の指示があったら、初めに問題冊子のページ数を確認してください。
ページの落丁・乱丁、印刷不鮮明等に気づいた場合は、手を挙げて監督者に知らせてください。
- (6) 問題冊子は、試験終了後、持ち帰ってください。

(下書き用紙)

(下書き用紙)

以下の問題 **1**, **2**, **3**において、文章中の **(ア)** などにあてはまる最も適当なものを指定の解答群の中から選び、その番号を解答用マークシートの指定欄にマークしなさい。ただし、**(ア)** などは既出の **(ア)** などを表す。

1 (40 点)

(1) 図 1-1 のように、半径 r [m] の半円形状のレールが水平台に置かれている。

レールの下端を点 A, 上端を点 B, 中心を点 O として、点 A, B, O は同一鉛直線上にある。点 O と同じ高さのレール上の点を点 C とする。質量 m [kg] の小球が水平台上を移動し、レールに侵入することを考える。小球は水平台上やレールの上をなめらかに移動し、かつ半円形状のレールを含む鉛直平面内のみを運動するものとする。重力加速度の大きさを g [m/s²] とする。

(a) 点 A で小球の速度の大きさが v_a [m/s] のとき、小球はレールに沿って上昇し、点 B から飛び出し、水平投射の放物運動をして水平台に落下した。このとき、点 B での小球の速度の大きさは **(ア)** [m/s] であり、点 A から小球の落下点までの距離は **(イ)** [m] である。また、小球がこのような運動をするための条件は **(ウ)** である。

(b) 点 A で小球の速度の大きさが v_b [m/s] のとき、小球は点 C に到達することなく、レールに沿って逆戻りした。小球がこのような運動をするための条件は **(エ)** である。

(c) 点 A で小球の速度の大きさが v_c [m/s] のとき、小球は点 C を超えたあと、点 B に到達することなく、点 D でレールから離れ、放物運動をした。点 D での小球の速度の大きさは **(オ)** [m/s] である。

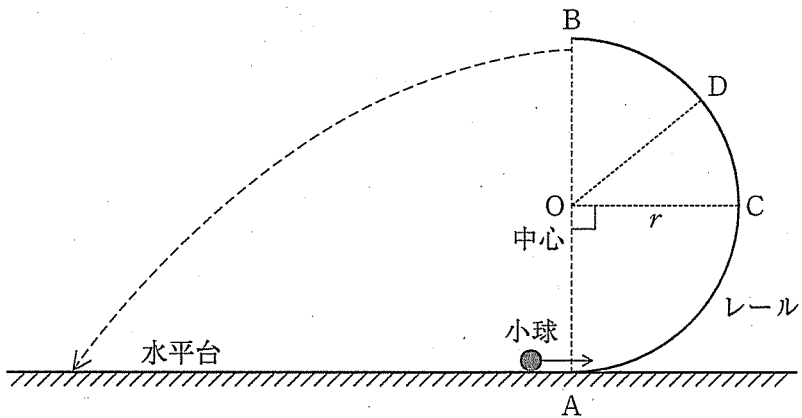


図 1-1

(ア)の解答群

$$(1) \sqrt{v_a^2 - 4gr} \quad (2) \sqrt{v_a^2 - 2gr} \quad (3) \sqrt{v_a^2 + 2gr} \quad (4) \sqrt{v_a^2 + 4gr}$$

(イ)の解答群

$$(1) \sqrt{\frac{4rv_a^2}{g} - 16r^2}$$

$$(2) \sqrt{\frac{2rv_a^2}{g} - 8r^2}$$

$$(3) \sqrt{\frac{rv_a^2}{g} - 4r^2}$$

$$(4) \sqrt{\frac{rv_a^2}{2g} - 2r^2}$$

(ウ)の解答群

$$(1) v_a^2 \geq gr \quad (2) v_a^2 \geq 3gr \quad (3) v_a^2 \geq 5gr \quad (4) v_a^2 \geq 7gr$$

(エ)の解答群

$$(1) v_b^2 < gr \quad (2) v_b^2 < 2gr \quad (3) v_b^2 < 3gr \quad (4) v_b^2 < 4gr$$

(オ)の解答群

$$(1) \sqrt{\frac{v_c^2 - 4gr}{3}}$$

$$(2) \sqrt{\frac{v_c^2 - 3gr}{3}}$$

$$(3) \sqrt{\frac{v_c^2 - 2gr}{3}}$$

$$(4) \sqrt{\frac{v_c^2 - gr}{3}}$$

(2) 図1-2のようすに、半径 r [m]の円環が鉛直軸まわりに角速度 ω [rad/s] ($\omega > 0$)で回転している。この円環に沿ってなめらかに動くことができる質量 m [kg]の小物体が円環に取り付けられている。重力加速度の大きさを g [m/s²]とする。図のように円環の中心を点Oとして鉛直下方の円環上の点をAとし、小物体の位置を点Bとする。OAとOBのなす角を θ [rad] ($\theta > 0$)とする。円環とともに回転する立場で考える。小物体にはたらく重力の円環に沿った接線方向の成分は、 θ が増える向きを正とすると (カ) [N] であり、円環の回転とともに生じる遠心力の円環に沿った接線方向の成分は (キ) [N] である。これらの接線方向の成分の和が0となるときの θ を θ_c とすると、 $\cos \theta_c =$ (ク) を満たす。これを満たす θ_c が存在するためには、円環の角速度 ω は (ケ) [rad/s] より大きい必要がある。

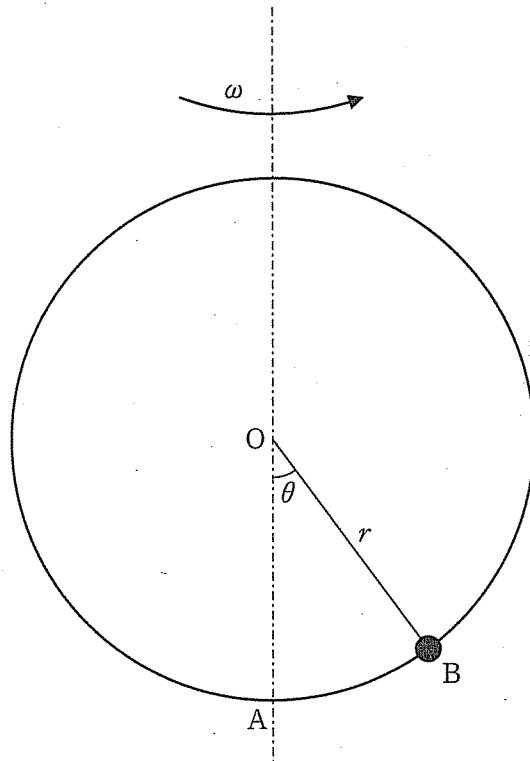


図1-2

(力)の解答群

- (1) $-mg \sin \theta$ (2) $-mg \cos \theta$ (3) $-mg \sin \theta \cos \theta$
(4) $-mg \sin^2 \theta$ (5) $-mg \cos^2 \theta$

(キ)の解答群

- (1) $mr\omega^2 \sin \theta$ (2) $mr\omega^2 \cos \theta$ (3) $mr\omega^2 \sin \theta \cos \theta$
(4) $mr\omega^2 \sin^2 \theta$ (5) $mr\omega^2 \cos^2 \theta$

(ケ)の解答群

- (1) $\frac{g}{r\omega^2}$ (2) $\frac{r\omega^2}{g}$ (3) $\sqrt{\frac{g}{r\omega^2}}$ (4) $\sqrt{\frac{r\omega^2}{g}}$

(ケ)の解答群

- (1) $\frac{1}{2} \sqrt{\frac{g}{r}}$ (2) $\sqrt{\frac{g}{2r}}$ (3) $\sqrt{\frac{g}{r}}$ (4) $\sqrt{\frac{2g}{r}}$

(3) なめらかで水平な面の上に、質量が M [kg]の小円盤 A と質量が未知の小円盤 B が置かれている。小円盤 A を速さ V [m/s] すべらせて、静止している小円盤 B に衝突させた。衝突後、図 1-3 のように、小円盤 A は角度 θ_A [rad] (θ_A は 0 ではない) の方向に速さ V' [m/s] すべりだし、小円盤 B もすべりだした。この衝突は弾性衝突であった。

以下では、小円盤 B の質量 m [kg]、衝突後の速さ v [m/s] とすべりだした角度 θ_B [rad] の 3 つの量を、小円盤 A についての衝突前後の既知の量(M , V , V' , θ_A)で表してみよう。

衝突後的小円盤 B の運動エネルギーを K [J] とすれば $K = \boxed{\text{コ}}$ [J] となる。また、運動量の保存より、衝突後的小円盤 B の運動量の大きさを p [kg·m/s] とすれば $p^2 = \boxed{\text{サ}}$ [$\text{kg}^2 \cdot \text{m}^2 / \text{s}^2$] となる。さらに、運動エネルギー K と運動量の大きさ p の間には、 $\boxed{\text{シ}}$ の関係がある。

以上より、小円盤 B の質量は $m = \boxed{\text{ス}}$ [kg]、衝突後的小円盤 B の速さは $v = \boxed{\text{セ}}$ [m/s] であり、すべりだした角度 θ_B は $\tan \theta_B = \boxed{\text{ソ}}$ を満たす。

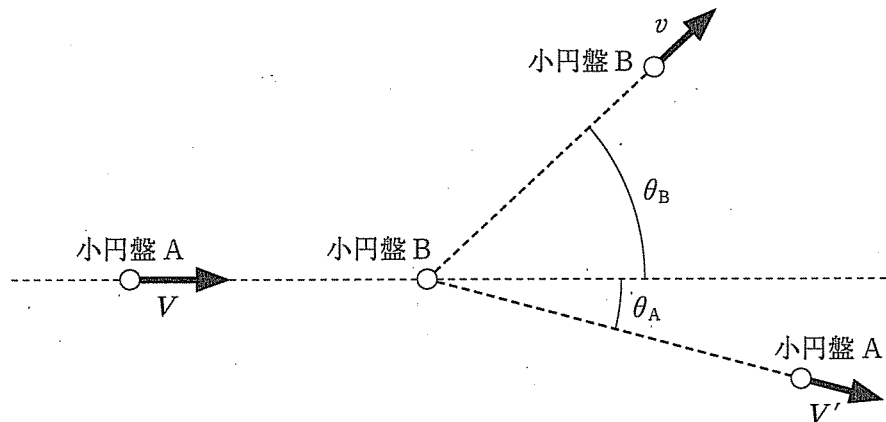


図 1-3

(下書き用紙)

(下書き用紙)

(コ)の解答群

- | | |
|-----------------------------------------------------|-----------------------------------------------------|
| (1) $\frac{1}{2}M(V^2 + V'^2)$ | (2) $\frac{1}{2}M(V + V')^2$ |
| (3) $\frac{1}{2}M(V^2 + V'^2) - MVV' \cos \theta_A$ | (4) $\frac{1}{2}M(V^2 - V'^2)$ |
| (5) $\frac{1}{2}M(V - V')^2$ | (6) $\frac{1}{2}M(V^2 - V'^2) + MVV' \cos \theta_A$ |

(サ)の解答群

- | | |
|--------------------------------------------|--------------------------------------------|
| (1) $M^2(V^2 + V'^2)$ | (2) $M^2(V + V')^2$ |
| (3) $M^2(V^2 + V'^2 - 2VV' \cos \theta_A)$ | (4) $M^2(V^2 - V'^2)$ |
| (5) $M^2(V - V')^2$ | (6) $M^2(V^2 - V'^2 + 2VV' \cos \theta_A)$ |

(シ)の解答群

- | | | |
|---------------------------|--------------------------|--------------------------|
| (1) $K = \frac{1}{2m}p^2$ | (2) $K = \frac{1}{m}p^2$ | (3) $K = \frac{2}{m}p^2$ |
|---------------------------|--------------------------|--------------------------|

(ス)の解答群

- | | |
|------------------------------------------------------------|------------------------------------------------------------|
| (1) $M \cos^2 \theta_A$ | (2) $M \frac{V^2 + V'^2 - 2VV' \cos \theta_A}{V^2 + V'^2}$ |
| (3) $M \frac{V^2 + V'^2 - 2VV' \cos \theta_A}{V^2 - V'^2}$ | (4) $M \sin^2 \theta_A$ |
| (5) $M \frac{V^2 - V'^2 + 2VV' \cos \theta_A}{V^2 + V'^2}$ | (6) $M \frac{V^2 - V'^2 + 2VV' \cos \theta_A}{V^2 - V'^2}$ |

(ヘ)の解答群

- | | |
|-----------------------------------------------------------------|-----------------------------------------------------------------|
| (1) $\sqrt{V^2 + V'^2 - 2VV' \cos \theta_A}$ | (2) $\frac{V^2 + V'^2}{\sqrt{V^2 + V'^2 - 2VV' \cos \theta_A}}$ |
| (3) $\frac{V^2 - V'^2}{\sqrt{V^2 + V'^2 - 2VV' \cos \theta_A}}$ | (4) $\sqrt{V^2 - V'^2 + 2VV' \cos \theta_A}$ |
| (5) $\frac{V^2 + V'^2}{\sqrt{V^2 - V'^2 + 2VV' \cos \theta_A}}$ | (6) $\frac{V^2 - V'^2}{\sqrt{V^2 - V'^2 + 2VV' \cos \theta_A}}$ |

(ソ)の解答群

- | | |
|-----------------------------------------------------|-----------------------------------------------------|
| (1) $\frac{V' \sin \theta_A}{V - V' \sin \theta_A}$ | (2) $\frac{V' \sin \theta_A}{V - V' \cos \theta_A}$ |
| (3) $\frac{V' \cos \theta_A}{V - V' \sin \theta_A}$ | (4) $\frac{V' \cos \theta_A}{V - V' \cos \theta_A}$ |

2

(45 点)

(1) 図 2-1 に示すような回路を考える。抵抗 R_1, R_2, R_3, R_4, R_5 の抵抗値は順に、 $5.0\Omega, 6.0\Omega, 12\Omega, 9.0\Omega, 1.0\Omega$ である。これらとは別に、抵抗 R_6, R_7 がある。電流計 A_1, A_2 および電池 E の内部抵抗は無視できる。この回路で、突然 1 つの抵抗が断線したため電流値が変化した。

(a) 断線後、電流計 A_1, A_2 はともに $2.0A$ を示した。断線したのは、抵抗

(ア)

である。電池 E の起電力は

(イ)

V

である。このとき、抵抗

(ウ)

で、その

消費電力は

(エ)

W である。

(b) 抵抗

(ア)

を抵抗 R_6 に取り替えた。このとき、電流計 A_1, A_2 に流

れる電流の比は、 $1 : 2$ であった。抵抗 R_6 は、

(オ)

 Ω

(c) 抵抗

(ア)

を抵抗 R_7 に取り替えた。このとき、抵抗 R_7 の消費電力

は $20W$ であった。抵抗 R_7 は、

(カ)

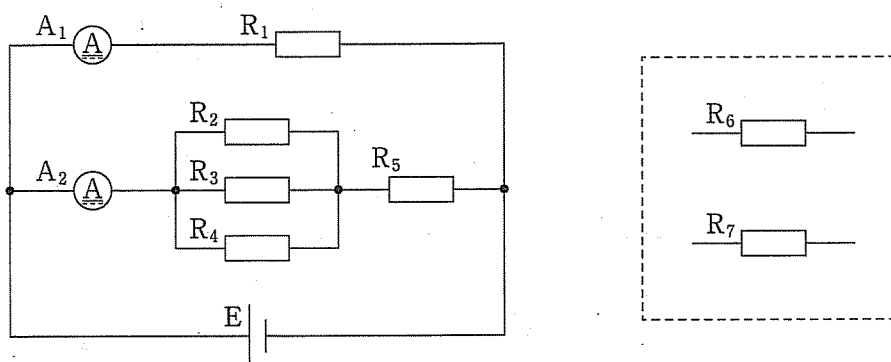
 Ω 

図 2-1

(ア), (ウ)の解答群

- (1) R₁ (2) R₂ (3) R₃ (4) R₄ (5) R₅

(イ)の解答群

- (1) 5.0 (2) 10 (3) 20 (4) 50 (5) 90

(エ)の解答群

- (1) 5.0 (2) 10 (3) 16 (4) 20 (5) 40

(オ)の解答群

- (1) 1.2 (2) 1.8 (3) 2.4 (4) 7.2 (5) 9.6

(カ)の解答群

- (1) 0.20 (2) 0.40 (3) 0.80 (4) 1.2 (5) 2.4

(2) 図2-2のように、面積 $S[m^2]$ の金属板 A, B, C, D, E, F が平行に並べられ、真空中に置かれている。金属板 B, C の厚さは $t[m]$ であり、A と B, B と C, C と D, E と F の間隔は順に d , $2d$, $2d$, $d[m]$ である。金属板には電圧 $V[V]$ の電池とスイッチ S_1 , S_2 , S_3 が接続されている。スイッチ S_1 , S_2 , S_3 は開いており、どの金属板にも電荷はたくわえられていない。最初に、スイッチ S_1 のみを閉じ、じゅうぶん時間が経過した。これを初期状態とする。なお、真空の誘電率を $\epsilon_0[F/m]$ とし、金属板の端における電場(電界)の乱れは無視できるものとする。

- (a) 金属板 B と C の間の電場の強さは、
 (キ) [V/m] であり、金属板 B と D の間の電位差は、
 (ク) [V] である。また、金属板 A と D の間の電気容量は
 (ケ) [F] である。

次に、スイッチ S_2 を閉じてからスイッチ S_1 を開いた。金属板 B と D の間の電位差は、
 (コ) [V] である。

- (b) 初期状態でスイッチ S_1 を開いてから、スイッチ S_2 を閉じた。金属板 B と D の間の電位差は、
 (サ) [V] である。

次に、スイッチ S_3 を閉じた。金属板 E と F を電極とするコンデンサーの電気量は
 (シ) [C] であり、このコンデンサーにたくわえられる静電エネルギーは
 (ス) [J] である。

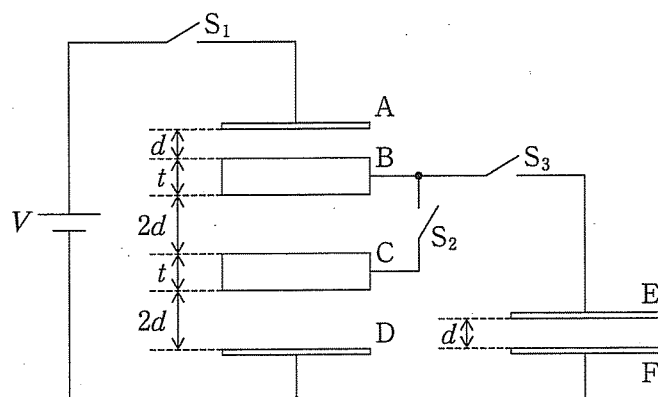


図2-2

(下書き用紙)

(下書き用紙)

(キ)の解答群

$$(1) \frac{V}{2d} \quad (2) \frac{V}{4d} \quad (3) \frac{V}{5d} \quad (4) \frac{V}{4t} \quad (5) \frac{V}{5d+2t}$$

(ケ), (コ), (サ)の解答群

$$\begin{array}{lll} (1) \frac{V}{5} & (2) \frac{2V}{5} & (3) \frac{3V}{5} \\ (4) \frac{4V}{5} & (5) \frac{V}{3} & (6) \frac{2V}{3} \\ (7) \frac{4dV}{5d+2t} & (8) \frac{(4d+2t)V}{5d+2t} & (9) \frac{(4d+t)V}{5d+2t} \end{array}$$

(ケ)の解答群

$$(1) \frac{\varepsilon_0 S}{5d} \quad (2) \frac{\varepsilon_0 S}{2t} \quad (3) \frac{\varepsilon_0 S}{5d+2t} \quad (4) \frac{\varepsilon_0 t}{2S} \quad (5) \frac{5\varepsilon_0 d}{S}$$

(シ)の解答群

$$(1) \frac{\varepsilon_0 SV}{9d} \quad (2) \frac{2\varepsilon_0 SV}{9d} \quad (3) \frac{2\varepsilon_0 SV}{15d} \quad (4) \frac{4\varepsilon_0 SV}{15d} \quad (5) \frac{4\varepsilon_0 SV}{35d}$$

(ス)の解答群

$$(1) \frac{\varepsilon_0 SV^2}{75d} \quad (2) \frac{2\varepsilon_0 SV^2}{75d} \quad (3) \frac{2\varepsilon_0 SV^2}{125d} \quad (4) \frac{\varepsilon_0 SV^2}{225d} \quad (5) \frac{2\varepsilon_0 SV^2}{225d}$$

(3) 図2-3のようく、紙面を水平面として、鉛直方向に太さが無視できる直線状の導線が置かれ、また、この導線を中心軸として、なめらかに回転できる非磁性体の円板が水平に置かれている。図のように紙面内の上下左右の向きを定義する。向かって左側がN極、右側がS極となるように、棒磁石を円板上に固定した。この棒磁石は、中心軸からの距離 $R[m]$ の位置に置かれた磁気量 $m[Wb]$ ($m > 0$) の磁極Aと、中心軸からの距離 $r[m]$ の位置に置かれた磁気量 $-m[Wb]$ の磁極Bの2個の磁極で表すことができる。磁極A、磁極B、中心軸は左右方向の一直線上にある。 $R > r$ であり、地磁気の影響は無視できる。導線には電流が流れおらず、円板はこの状態で回転しないように固定されている。これをこの装置の初期状態とする。

(a) この装置の導線に、紙面裏から表の向きに電流 $I[A]$ を流した。このとき、電流によってつくられる磁場(磁界)により磁極Aにはたらく力の大きさは、

〔セ〕 [N]であり、その向きは 〔ソ〕 である。磁極Aにはたらく力による中心軸のまわりの力のモーメントの大きさは 〔タ〕 [N·m]である。次に、この状態で円板が回転できるようにした。このとき、この円板は 〔チ〕 。

(b) 初期状態のこの装置に、図2-4のようく、磁極AとBを通る直線に垂直で一様な磁場(磁界)をかける。磁場(磁界)の大きさは $H[N/Wb]$ でその向きは紙面内の下向きである。このとき、磁極Aにはたらく力による中心軸のまわりの力のモーメントの大きさは 〔ツ〕 [N·m]である。次に、この状態で円板が回転できるようにした。このとき、この円板は 〔テ〕 。

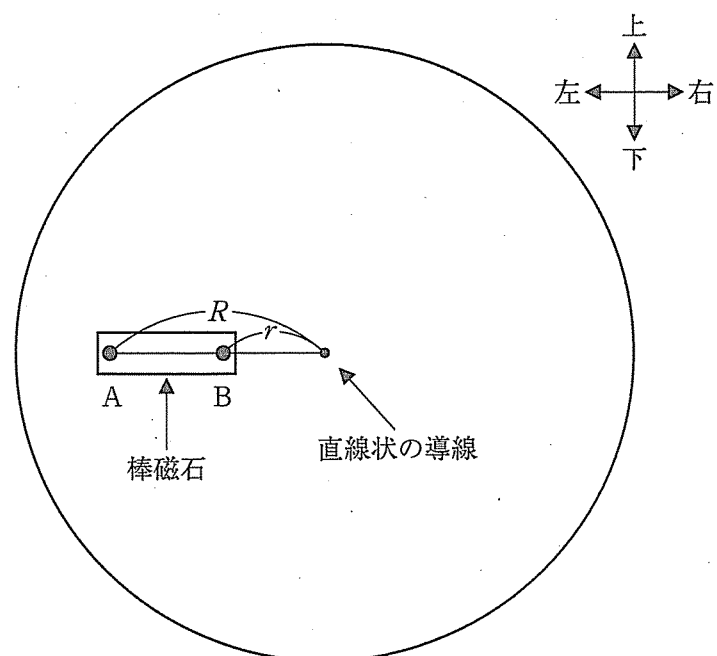


図 2-3

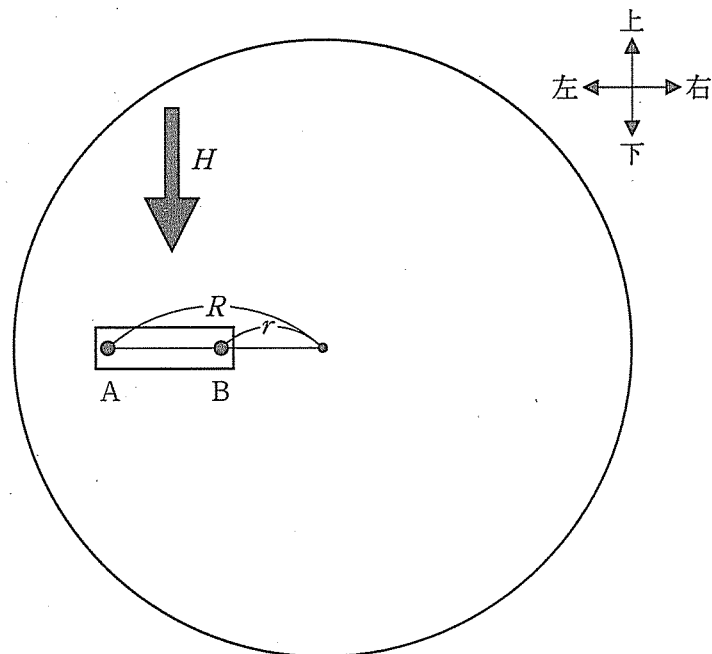


図 2-4

(下書き用紙)

(セ)の解答群

(1) $\frac{mI}{2\pi(R-r)}$ (2) $\frac{mI(R-r)}{2\pi Rr}$ (3) $\frac{mI}{4\pi R}$ (4) $\frac{mI}{2\pi R}$

(ソ)の解答群

- (1) 紙面内の上向き (2) 紙面内の下向き
(3) 紙面内の右向き (4) 紙面内の左向き
(5) 紙面裏から表の向き (6) 紙面表から裏の向き

(タ)の解答群

(1) $\frac{mI}{2\pi}$ (2) $\frac{mIr}{2\pi R}$ (3) $\frac{mIR}{2\pi r}$ (4) $\frac{mI(R-r)}{2\pi R}$

(チ), (テ)の解答群

- (0) 静止したままである
(1) 時計回りに回転しはじめる
(2) 反時計回りに回転しはじめる

(ツ)の解答群

(1) $\frac{mHR^2}{2\pi(R+r)}$ (2) $\frac{mHR^2}{2\pi(R-r)}$ (3) mHR (4) $mH(R+r)$

3 (15 点)

(1) 1 mol の理想気体の状態変化について考える。状態 A, B, C, D の圧力と体積をそれぞれ、 $(P_0[\text{Pa}], V_0[\text{m}^3])$, $(2P_0[\text{Pa}], V_0[\text{m}^3])$, $(2P_0[\text{Pa}], 2V_0[\text{m}^3])$, $(P_0[\text{Pa}], 2V_0[\text{m}^3])$ とする。気体の状態は、 $A \rightarrow B \rightarrow C \rightarrow D \rightarrow A$ と変化し、 $A \rightarrow B$, $C \rightarrow D$ は定積変化で、 $B \rightarrow C$, $D \rightarrow A$ は定圧変化である。また、気体定数を $R[\text{J}/(\text{mol}\cdot\text{K})]$, 気体の定積モル比熱を $C_v[\text{J}/(\text{mol}\cdot\text{K})]$ とする。

状態 A での気体の温度を $T_0[\text{K}]$ とする。状態 A から状態 B での変化で気体が吸収した熱量 $Q_{AB}[\text{J}]$ は、 $Q_{AB} = \boxed{\text{(ア)}} [\text{J}]$ となり、状態 B から状態 C での変化で気体が吸収した熱量 $Q_{BC}[\text{J}]$ は、 $Q_{BC} = \boxed{\text{(イ)}} [\text{J}]$ となる。また、状態変化 $A \rightarrow B \rightarrow C \rightarrow D \rightarrow A$ で気体が外部におこなう仕事を同じ仕事を 1 サイクルで外部におこなう状態変化を表した図は $\boxed{\text{(ウ)}}$ である。

(ア)の解答群

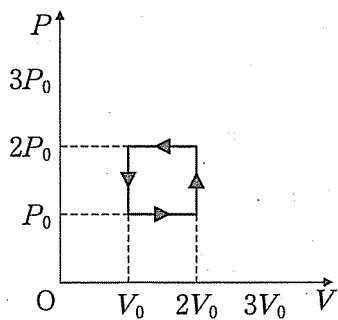
- (1) $-2C_v T_0$ (2) $-C_v T_0$ (3) $C_v T_0$ (4) $2C_v T_0$

(イ)の解答群

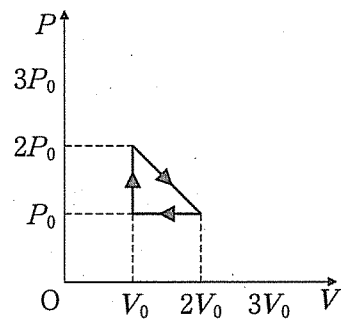
- (1) $(C_v - R) T_0$ (2) $(C_v + R) T_0$
(3) $(2C_v + R) T_0$ (4) $(2C_v + 2R) T_0$

(ウ)の解答群(図中の矢印は状態変化の向きを示している。)

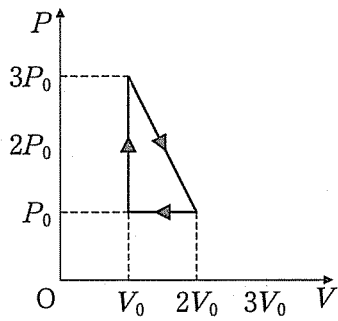
(1)



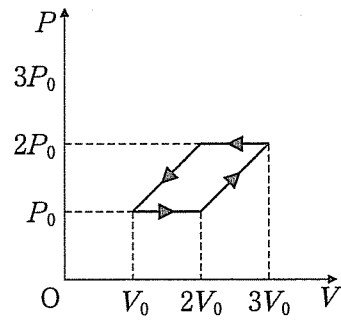
(2)



(3)



(4)



(2) 図3のように、水平面上に互いに直交する x 軸, y 軸をとり、原点Oから L [m]はなれた x 軸上の点 $S_1(L, 0)$ と点 $S_2(-L, 0)$ に波源を固定する。ただし、 $L > 0$ とする。点 S_1 , 点 S_2 から出る波は円形波で振幅と周波数が等しく、同位相とし、波長を λ [m]とする。

x - y 平面上の点Pにおいて、点Pと点 S_1 との距離を l_1 [m], 点Pと点 S_2 との距離を l_2 [m]とするとき、波が強めあう点の条件は、 $|l_1 - l_2| = \boxed{\text{(イ)}}$ [m]であり、波が弱めあう点の条件は、 $|l_1 - l_2| = \boxed{\text{(オ)}}$ [m]である。また、波が強め合う場所を表した図は $\boxed{\text{(カ)}}$ である。

$L = 1.0$ m, $\lambda = 0.20$ m のとき、 x 軸上で点 S_1 と点 S_2 の間 ($-L < x < L$) にできる波が強めあう点の数は、 $\boxed{\text{(キ)}}$ 個である。

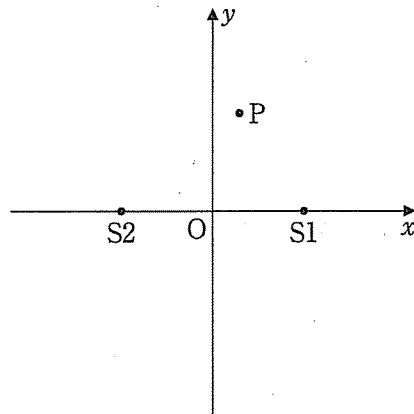


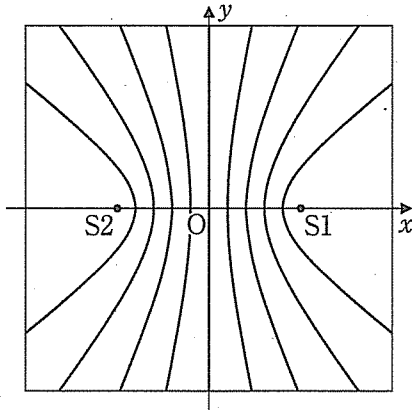
図3

(イ), (オ)の解答群(この解答群において、 $n = 0, 1, 2, \dots$ である。)

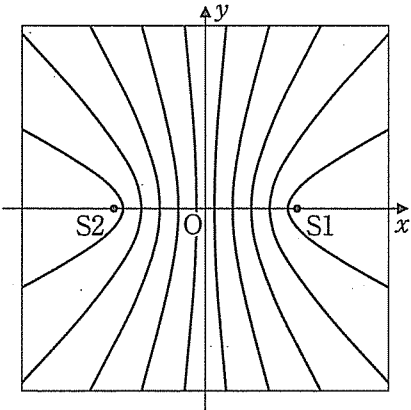
$$(1) n\lambda \quad (2) \left(n + \frac{1}{2}\right)\lambda \quad (3) n\frac{\lambda}{2} \quad (4) \left(n + \frac{1}{2}\right)\frac{\lambda}{2}$$

(力)の解答群

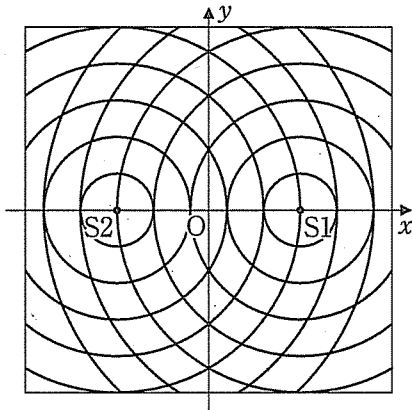
(1)



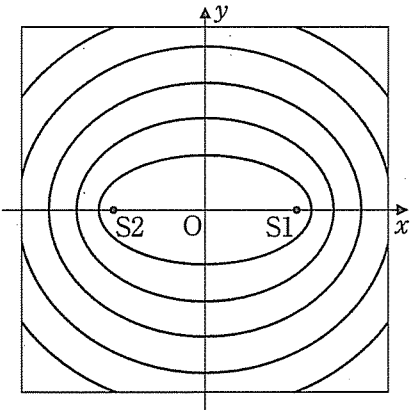
(2)



(3)



(4)



(キ)の解答群

(1) 9

(2) 13

(3) 17

(4) 19



